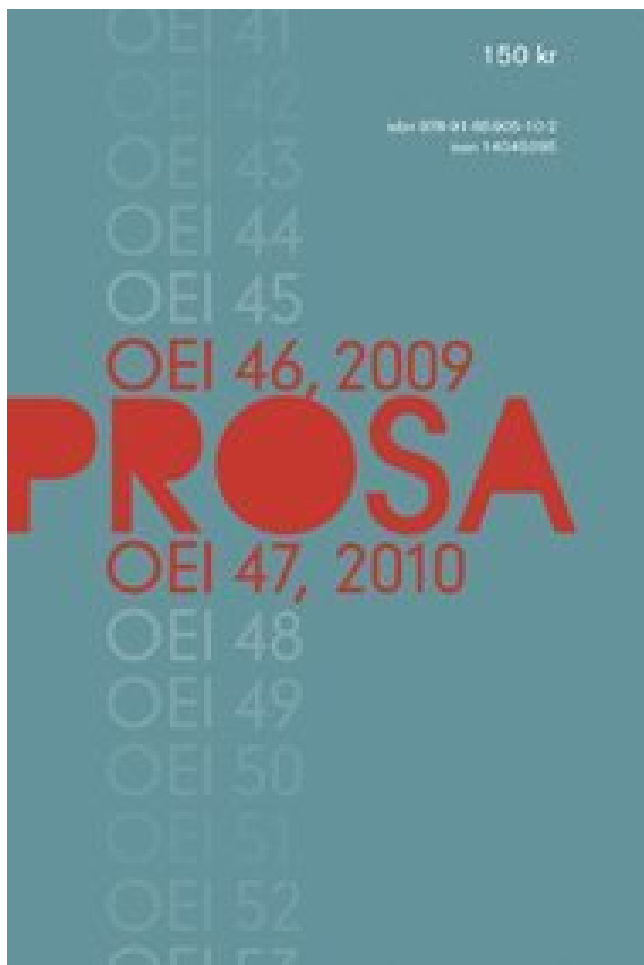


OEI # 46--47 PDF LÄSA E-bok ladda ner



LADDA NER

LÄSA

Författare: .

Annan Information

Apurinisk platsinduktion i DNA hos celler uppvärmda vid hypertermiska temperaturer. I den här översynen försöker vi sammanfatta de kända effekterna av hypertermi på DNA-reparationsvägar som är relevanta vid klinisk behandling av cancer. Urvalsprocessen utformades för att säkerställa att en partner skulle väljas för att ta itu med initiativets vision för framtiden. Hypertermi inhiberar homolog rekombinationsreparation och sensibiliserar celler till joniserande strålning på ett tids- och temperaturberoende sätt. Några andra studier bekräftade DSB-induktion med direkta metoder och visade att fosforylering av H2AX

korrelerar med celldöd och termotolerans. Sådan kostnad dras av vid beräkningen av indexets nivå och kommer därmed att minska indexets avkastning.

Metoder utfördes i enlighet med gällande föreskrifter och riktlinjer. HR kräver en homologisk mall, vanligtvis systerkromatiden, och är således endast aktiv under S- och G2-faserna. Endera av dessa åtgärder kan påverka värdet av instrument kopplade till indexet negativt. Coexpression av mutant full längd p53 befanns vara kapabel att inducera K382-acetylering på p47 i trans och leda till p21-induktion, ytterligare demonstrera rollen av K382-acetylering för p21-aktivering. Kanonisk icke-homolog slutning i mitos inducerar genominstabilitet och undertrycks av M-fas-specifik fosforylering av XRCC4. PLoS Genet. 2014; 10, e1004563. PubMed Central PubMed Visa artikel Google Scholar Iliakis GE, Pantelias GE. Vi är en ideell grupp som kör denna webbplats för att dela dokument. Det är omöjligt att förutsäga om indexets nivå stiger eller faller. Möss med mutationer som resulterar i oförmåga hos TA1 ensam (p53 25,26) eller både TA1 och TA2 (p53 25,26,53,54) har genererats och har visat en distinkt roll för TA1 vid reglering av transaktivering av en delmängd av gener såsom p21, men inte gener såsom Bax (20, 21). Jag är mest nyfiken på hur mycket hänsyn tas till den inlärningskurva som fakulteten kommer att behöva möta, oavsett LMS när man fattar de runda besluten.

EHGO och RPJB tillhandahöll avbildningsbilder och deltog i diskussionen. Det bör emellertid observeras att endast omkring 70% nedreglering av APE1 uppnåddes i denna studie och resterande proteinhalter kan vara tillräckliga för att bibehålla (partiella) BER-aktiviteter. Däremot fann vi att träning på två uppgifter samtidigt minskade kostnaderna för dubbla uppgifter på de exakta utbildade uppgifterna, men denna träningsförmån generaliserades inte för andra åtgärder för kontroll av åtgärder. Med användning av genetiskt modifierade cancerceller som uttrycker p47 utan full längd p53 (26) visar vi att p47 är kapabelt att selektivt aktivera en grupp av apoptotiska målgener och är därför nödvändig för apoptosinduktion. Trendsmap Premium innehåller nedladdning av Analytics-data och ger upp till 5 veckor med tweets för analys och visualisering tillsammans med annan funktionalitet. Tail and Winglet närbilder med vackra flygbolagslogotyper. I allmänhet är GI-fasceller relativt värmebeständiga och visar ingen skada vid mikroskopisk undersökning. Radiosensibilisering av humana tumörceller av gemcitabin in vitro. Hypertermi förbättrad kemosensitivitet hos maligna gliomceller från människor. AP-endonukleaser (APE1 i humana celler) känner igen och klämmer AP-ställen och rekryterar DNA-polymeraser för att återställa gapen, via en SSB-mellanprodukt, där BER och SSB-reparationsvägar sammanfaller. Natriumarsenit och hypertermi modulerar cisplatin-DNA-skadorna och förbättrar platinackumulering vid xenotransplantation av ostencancer i mitten av metastatisk cancer efter hypertermisk intraperitoneal kemoterapi (HIPEC).

Över hela linjen finns det fördelar med ett gemensamt kurshanteringssystem för California Community Colleges. Sekundära processer av kognitiv verksamhet kopplad till responsval, inklusive test av responsinhibering (Go-Nogo-uppgift) och åtgärder för selektiv uppmärksamhet (Flanker-uppgift) inkluderades också. Kunderna bör kontakta sina försäljare vid och genomföra transaktioner genom en Morgan Stanley-enhet som är kvalificerad i sin hemjurisdiktion, såvida inte lagar tillåter något annat. Det är uppenbart att cytotoxiska eller sensibiliserande effekter av hypertermi inte kan hänföras till deaktivering av en DNA-reparationsmekanism, utan snarare att påverka flera vägar på flera nivåer. De hypotetiska historiska nivåer som presenteras här har inte verifierats av en oberoende tredje part, och sådana hypotetiska historiska nivåer har inneboende begränsningar. Termisk radiosensibilisering i värme- och strålningskänsliga mutanter av CHO-celler. Hittills är relativt

lite känt om de underliggande mekanismerna som ger upphov till positiva överföringseffekter.

Vi undersökte därför huruvida p47 kunde transaktivera av målgener. Alla är helt beroende av kvaliteten på implementationen. Den icke-homologa slutförbindningsvägen är inte inblandad i radiosensibiliseringen av daggdjursceller genom värmechock. Således är allt-NHEJ i logfas c-NHEJ-bristfälliga celler fortfarande verksamma och om dessa vägar är värmekänsliga kan sådana celler potentiellt vara ytterligare sensibiliserad av hypertermi. Samtliga nivåer beräknas årligen över det föregående 63-dagars beräkningsfönstret, med senare data betonade för volatilitets- och korrelationsberäkningar. För att få den bästa upplevelsen rekommenderar vi att du använder en mer aktuell webbläsare (eller stäng av. Eftersom Morgan Stanley 2 Year Treasury Index och vissa ETFs som ingår i Index Components existerade för endast en del av den testade perioden har substitutdata använts för delar av simuleringen. På liknande sätt visade sig BRD7 att binda till p53 och p300 och att rekryteras till målgenpromotorer, som påverkar histon-acetylering, p53-acetylering och promotoraktivitet hos en delmängd av senescens-målgener (23). Efter utvärdering av gränsöverskridande tröskelvärden sprang deltagarna genom fem 3-minuters försök av varje tillstånd (dvs uppgift för enkelformad diskriminering, enkeltvisuomotoriskt spåringsuppgiftstillstånd och en samtidig formdiskriminering och visuomotorisk spåringsövervakning) för att bedöma multitaskingskostnader vid baslinjen.

För att säkerställa lika visuell stimulering mellan multitasking och single-task-förhållandena presenterades former i skärmens mitt i den enskilda visuomotoriska spåringsuppgiften, men deltagarna fick instruktioner att ignorera dessa diskrimineringsstimuli. Selektiviteten vid målgenaktivering förefaller vara en standardfunktion som förekommer i frånvaro av K382-acetylering som beror på den aminoterminala domänen, vilket erfordras för arresteringsrelaterad genaktivering (Fig 7 E). Viktigt är att dessa data slutsatsen att selektiv apoptosförmåga hos p53 i full längd är otillräcklig för att skydda mot tumörnesen. Kliniskt föreslår bevarande av selektiv apoptotisk funktion av p47 bättre prognos och överlevnad (denna rapport och ref 32), även om dessa resultat kräver ytterligare stor kohortvalidering. Brist på p47 K382 acetylering korrelerar med brist på TAF1 rekrytering till nonapoptotiska målgenpromotorer som p21, men påverkar inte aktiveringen av apoptotiska målgener. Medan vårt nuvarande ingripande användes en dynamisk dubbel uppgift för att beskatta åtgärdsvalutionsprocesser i ett sammanhang som ofta finns i verkliga situationer, skiljer det sig väsentligt från interaktiva videospel som kräver att deltagarna avsiktligt varierar sina arbetsprioriteringar bland många dimensioner för att uppnå de önskade målen och delmålen. Information om denna process finns tillgänglig på: Ytterligare information från urvalsprocessen kan göras tillgänglig via en Public Records Act-begäran till presidents kansli vid Butte-Glenn Community College District. LLC behåller slutgiltigt utrymme för att bestämma hur indexet beräknas och konstrueras.

Matsuda K et al. (2002) p53AIP1 reglerar den mitokondriella apoptotiska vägen. In situ nick-translationsmetod avslöjar DNA-strängsektion i HeLa-celler efter värmebehandling. Termisk dos beror på temperaturen och varaktigheten av behandlingen så att värmdosekvivalent vid en given temperatur i princip kan beräknas med användning av Arrhenius ekvationer. Se alla receptionistlöner för att lära dig hur detta stackar upp på marknaden. Bunjobpol W et al. (2014) Suppression av acetylpolyaminoxidase av utvalda AP-1-medlemmar reglerar DNp73-överflöd: Mekaniska insikter för att övervinna DNp73-medierad resistans mot kemoterapeutiska läkemedel. Enhetsreaktionsuppgift I denna uppgift var deltagarna skyldiga att diskriminera mellan sex olika färgade fraktaler via nyckelpress. Randomiserad test av

hypertermi och strålning för ytliga tumörer. I en tidigare faktoranalytisk studie 47 visade vi att konstruktionen av svarselektion kunde mätas via uppgifter som PRP, singel- och dubbelsvarselektion, Stroop och i mindre grad Attentional Blink (AB). Radikal strålning ensam gentemot radikal strålning plus mikrovåg hypertermi för N3 (TNM-UICC) nackknutor: en prospektiv randomiserad klinisk studie. Värmeeffekter på reparation av DNA-dubbelsträngbrytningar i CHO-celler. I S-fasens sammanhang kan aktiveringen av cellcykelkontrollpunkt därför vara ett skyddande svar som mildrar effekterna av hypertermi vid replikationsprogression.

En klar tolkning av experimentella och kliniska data hindras emellertid av omfattande överlappning av dessa mekanismer under reparation av olika skador. Han gör en skillnad genom att modernisera regeringsteknik och effektivisera byråkratin. Förstå nukleotid excision reparation och dess roller i cancer och åldrande. Inhiberingen av OGG1 bidrar då sannolikt till värmeinducerad radio- eller kemosenibilisering. Samtidigt kan p53 också binda till apoptotiska målpromotorer, rekrytera hCAS1 och resultera i deras aktivering. Vi håller ditt höga budbelopp hängt från alla andra. Således framgår det att selektiviteten hos p47 att inducera apoptotiska målgener är väsentligen på grund av dess oförmåga att inducera den andra klassen av p21-liknande gener. Kenzelmann Broz D, Attardi LD (2010) In vivo-analys av p53-tumörsuppressorfunktion med genmodifierade musmodeller. Detta dokument har markerats som spam av användare eller vårt system. För att bekräfta den skenbara selektiva förmågan hos p47 att transaktivera olika uppsättningar av endogena målgener utvärderade vi uttrycket av en serie av arresterings- och apoptotiska målgener genom kvantitativ realtids-PCR. Morgan Stanley 2 års statsskuldindex, inklusive namn, metod och nivåer ("Indexinformation") är sponsorens exklusiva egendom.

Den nyckelberoende åtgärden av intresse var andelen kommissionsfel vid inga försök (dvs misslyckande att stoppa ett svar). S8 C), vilket tyder på en länk mellan K382-acetylering och förmåga att effektivt aktivera p21-uttryck. Därför innebär en investering i instrument kopplade till indexet risker i samband med värdepappersmarknaderna i de utländska marknaderna och tillväxtmarknaderna, däribland men inte begränsat till risker för volatilitet på dessa marknader, statligt ingripande på dessa marknader och ömsesidiga aktieinnehav i företag i vissa länder. Det är emellertid fortfarande en stor utmaning att förbereda mycket stabila, vattenlösliga gröna luminescerande Cdots med högt kvantutbyte. Resultaten anger därför liknande visuomotoriska spårningsegenskaper under de sex sessionerna för båda träningsgrupperna. De första åtta Full Launch Pilot Colleges kommer att erbjuda kurser i Canvas som börjar under hösten 2015. Morgan Stanley kommer inte att vara skyldig att göra några justeringar av indexet eller att återspegla förändringar i utsikterna av Morgan Stanley Research. Värmekokproteiner, termotolerans och deras relevans för klinisk hypertermi. Brady CA, et al. (2011) Distinkt p53 transkriptionsprogram dikterar akuta DNA-skador och tumörundertryckande.

Från studentperspektivet ger tillgång till ett gemensamt kurshanteringssystem studenterna möjligheter att ha konsekvent och pågående stöd i en gemensam onlinemiljö, vilket gör det möjligt för studenter att dra nytta av delade kommunikations- och innehållsresurser i flera instanser av plattformen och ger konsekvent tillgång på vilken enhet som helst. Morgan Stanley är inte ansvarig på något sätt för några beräkningar som den utför i beroende av sådan information. Randomiserad test av hypertermi som adjuvans till strålbehandling för återkommande eller metastatisk malignt melanom. Denna studie visade också, genom att tillämpa kometanalis, att hypertermi inducerar DNA-skada. Emellertid i vår patient ansågs cyst evakuering och utplåning vara för högrisk för spill, och på grund av koronar och vänster

ventrikelvägginvasion är det allvarligt att betrakta blödningsrisk och vävnadsförlust. Dessa data från ATp53-mutationer visar kollektivt att p53s apoptoskunnighet är dispenserbar för tumörundertryckning, men kan förutspå bättre överlevnad. Under tiden för att säkerställa fortsatt stöd visar vi webbplatsen.